

ИЗГИБ ЛОКАЛЬНОЙ НАГРУЗКОЙ ТРЕХСЛОЙНОГО СТЕРЖНЯ, ЧАСТИЧНО ОПЕРТОГО НА УПРУГОЕ ОСНОВАНИЕ

Старовойтов Э.И., Поддубный А.А.

Белорусский государственный университет транспорта, Гомель

We consider the deformation of an elastic three-layer rod partially supported on elastic foundation of Winkler. To describe the kinematics of asymmetric in thickness of package accepted hypothesis rod broken normal. A system of equilibrium equations and its general analytical solution in displacements. The numerical analysis of solutions.

Введение

Композиционные, в том числе слоистые элементы конструкций широко используются в транспортном машиностроении: в качестве корпусных элементов вагонов, авиационных аппаратов, космических объектов, строительных панелей, и т.д. В связи с этим актуальной является проблема их расчета при различных внешних воздействиях и внутренней конфигурации. Деформирование трехслойных элементов конструкций не связанных с упругим основанием исследовано в [1]. Изгиб трехслойного стержня полностью опертого на упругое основание рассмотрен в работах [2, 3]. Здесь исследован изгиб локально распределенной нагрузкой трехслойного стержня, *частично* опертого на упругое основание.

Постановка задачи

Рассматривается несимметричный по толщине упругий трехслойный стержень с жестким наполнителем (рисунок 1). Система координат x, y, z связывается со срединной плоскостью наполнителя. Для описания кинематики пакета используется *гипотеза «ломаной» нормали*: в тонких несущих слоях 1, 2 справедливы гипотезы Кирхгофа, в несжимаемом по толщине сравнительно толстом наполнителе 3 нормаль остается прямолинейной, не изменяет своей длины, но поворачивается на некоторый дополнительный угол $\psi(x)$. Деформации считаются малыми. На внешний слой 1 стержня действует локально распределенная поперечная нагрузка постоянной интенсивности

$$q(x) = q_0 (H_0(a-x) - H_0(b-x)). \quad (1)$$

Частично стержень опирается на упругое основание Винклера, т. е. реакция

$$q_r = -kwH(x_0 - x), \quad (2)$$

где k – жесткости упругого основания; $w(x)$ – прогиб стержня; $H_0(x_0)$ – функция Хевисайда.

В силу принятых гипотез прогиб во всех точках поперечного сечения стержня одинаков. На торцах предполагается наличие жестких диафрагм, препятствующих относительно сдвигу слоев. Через $u(x)$ обозначено продольное перемещение срединной плоскости наполнителя, h_k – толщина k -го слоя ($k = 1, 2, 3$), при этом толщина наполнителя $h_3 = 2c$.

Введенные геометрические гипотезы позволяют выразить продольные перемещения в слоях $u^{(k)}$ через три искомые функции $u(x)$, $\psi(x)$ и $w(x)$:

$$\begin{aligned} u^{(1)} &= u + c\psi - zw_{,x} \quad (c \leq z \leq c+h_1), \quad u^{(3)} = u + z\psi - zw_{,x} \quad (-c \leq z \leq c), \\ u^{(2)} &= u - c\psi - zw_{,x} \quad (-c-h_2 \leq z \leq -c), \end{aligned} \quad (3)$$

где запятая в нижнем индексе обозначает операцию дифференцирования по следующей за ней координате; z – координата рассматриваемого волокна.

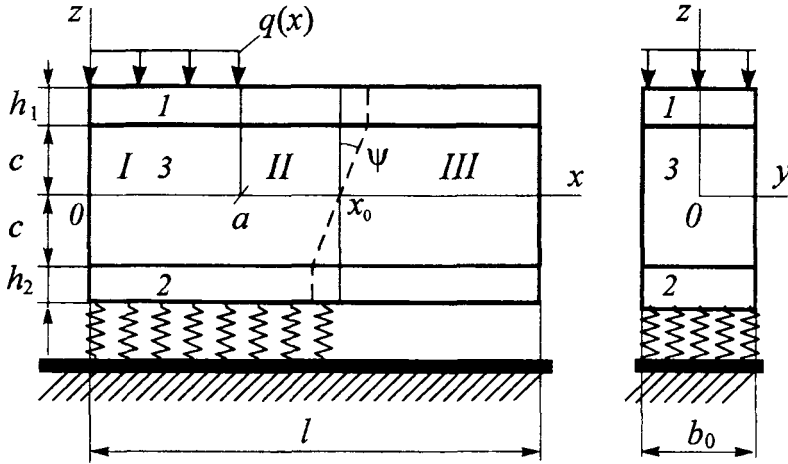


Рис. 1. Расчетная схема трехслойного стержня

В слоях стержня вводятся внутренние силы и моменты:

$$N^{(k)} = b_0 \int_{h_k} \sigma_x^{(k)} dz, \quad M^{(k)} = b_0 \int_{h_k} \sigma_x^{(k)} z dz, \quad Q^{(3)} = b_0 \int_{h_3} \sigma_{xz}^{(3)} dz, \quad (4)$$

где $\sigma_x^{(k)}$, $\sigma_{xz}^{(3)}$ – компоненты тензора напряжений, b_0 – ширина поперечного сечения стержня.

Уравнения равновесия трехслойного стержня в усилиях и силовые граничные условия следуют из принципа возможных перемещений Лагранжа:

$$\delta A = \delta W, \quad (5)$$

где δA и δW – вариации работ внешних сил и внутренних напряжений

$$\begin{aligned} \delta A &= \iint_S (q + q_r) \delta w dS = b_0 \int_0^l (q + q_r) \delta w dx, \\ \delta W &= \iint_S \sum_{k=1}^3 \int_{h_k} (\sigma_x^{(k)} \delta \epsilon_x^{(k)} + 2\sigma_{xz}^{(3)} \delta \epsilon_{xz}^{(3)} \delta_{k3}) dz dS = \\ &= b_0 \int_0^l \left[\sum_{k=1}^3 \int_{h_k} \sigma_x^{(k)} \delta \epsilon_x^{(k)} dz + 2 \int_{h_3} \sigma_{xz}^{(3)} \delta \epsilon_{xz}^{(3)} dz \right] dx. \end{aligned}$$

В результате получаем систему обыкновенных дифференциальных уравнений равновесия и граничные условия рассматриваемого трехслойного стержня в усилиях.

$$\begin{cases} N_{,x} + b_0 p = 0, \\ H_{,x} - Q = 0, \\ M_{,xx} + b_0 (q + q_R H(x_1 - x)) = 0. \end{cases} \quad (6)$$

При этом должны выполняться следующие силовые граничные условия:

$$\begin{aligned} x = 0: \quad N = N_0, \quad M = M_0, \quad M_{,x} = Q_0, \quad H = 0, \\ x = l: \quad N = N_l, \quad M = M_l, \quad M_{,x} = Q_l, \quad H = 0. \end{aligned} \quad (7)$$

Применяя соотношения (3), (4) выразим внутренние усилия и моменты через искомые функции $u(x)$, $\psi(x)$, $w(x)$:

$$\begin{aligned} N^{(1)} &= b_0 K_1^+ \left[h_1 (u_{,x} + c\psi_{,x}) - (c + \frac{1}{2} h_1) h_1 w_{,xx} \right], \\ N^{(2)} &= b_0 K_2^+ \left[h_2 (u_{,x} - c\psi_{,x}) + (c + \frac{1}{2} h_2) h_2 w_{,xx} \right], \\ N^{(3)} &= 2b_0 K_3^+ c u_{,x}, \\ M^{(1)} &= b_0 K_1^+ \left[h_1 (c + \frac{1}{2} h_1) (u_{,x} + c\psi_{,x}) - (c^2 + ch_1 + \frac{1}{3} h_1^2) h_1 w_{,xx} \right], \\ M^{(2)} &= b_0 K_2^+ \left[-h_2 (c + \frac{1}{2} h_2) (u_{,x} - c\psi_{,x}) - (c^2 + ch_2 + \frac{1}{3} h_2^2) h_2 w_{,xx} \right], \\ M^{(3)} &= \frac{2}{3} b_0 K_3^+ c^3 (\psi_{,x} - w_{,xx}), \quad Q^{(3)} = 2b_0 G_3 c \psi, \\ K_k^+ &\equiv K_k + \frac{4}{3} G_k, \end{aligned}$$

где G_k, K_k – модули сдвиговой и объемной деформации k -го слоя.

С помощью соотношений (3), (4) внутренние усилия и моменты можно выразить через искомые три функции $u(x)$, $\psi(x)$, $w(x)$. Подставив их в силовые уравнения равновесия, получим систему дифференциальных уравнений равновесия рассматриваемого трехслойного стержня в перемещениях:

$$\begin{aligned} a_1 u_{,xx} + a_6 \psi_{,xx} - a_7 w_{,xxx} = 0, \quad a_6 u_{,xx} + a_2 \psi_{,xx} - a_3 w_{,xxx} - a_5 \psi = 0, \\ a_7 u_{,xxx} + a_3 \psi_{,xxx} - a_4 w_{,xxxx} - kwH(x_1 - x) = -qH(a - x), \end{aligned} \quad (8)$$

где

$$\begin{aligned} a_1 &= K_1^+ h_1 + K_2^+ h_{20} + 2K_3^+ c, \quad a_2 = c^2 \left[K_1^+ h_1 + K_2^+ h_{20} + \frac{2}{3} K_3^+ c \right], \\ a_3 &= c \left[K_1^+ h_1 (c + \frac{1}{2} h_1) + K_2^+ h_{20} (c + \frac{1}{2} h_{20}) + \frac{2}{3} K_3^+ c^2 \right], \\ a_4 &= K_1^+ h_1 (c^2 + ch_1 + \frac{1}{3} h_1^2) + K_2^+ h_{20} (c^2 + ch_{20} + \frac{1}{3} h_{20}^2) + \frac{2}{3} K_3^+ c^3, \\ a_5 &= 2G_3 c, \quad a_6 = c \left[K_1^+ h_1 - K_2^+ h_{20} \right], \quad a_7 = K_1^+ h_1 (c + \frac{1}{2} h_1) - K_2^+ h_{20} (c + \frac{1}{2} h_{20}). \end{aligned}$$

Система уравнений (8) имеет разрывные коэффициенты, обусловленные наличием функций Хевисайда в реакции основания (2) и нагрузке (1).

Решение краевой задачи проводится в зонах непрерывности коэффициентов системы (8): I – $x < a$, область с нагрузкой и опиранием на упругое основание; II – $x < x_0$, область опирания на упругое основание, но без нагрузки; III – область без основания и без нагрузки ($x > x_0$).

В первой области обе функции Хевисайда обращаются в единицу. Искомые перемещения в этой области пометим индексом «1» внизу. Система (8) здесь принимает вид

$$\begin{aligned} a_1 u_{1,xx} + a_6 \psi_{1,xx} - a_7 w_{1,xxx} &= -p, \\ a_6 u_{1,xx} + a_2 \psi_{1,xx} - a_3 w_{1,xxx} - a_5 \psi_1 &= 0, \\ a_7 u_{1,xxx} + a_3 \psi_{1,xxx} - a_4 w_{1,xxx} - \kappa w_1 &= -q. \end{aligned} \quad (9)$$

Решение системы уравнений (9), при основании средней жесткости [3] будет:

$$\begin{aligned} w_1(x) &= C_{11} e^{\lambda_1 x} + C_{21} e^{-\lambda_1 x} + C_{31} e^{\lambda_3 x} + C_{41} e^{-\lambda_3 x} + C_{51} e^{\lambda_5 x} + C_{61} e^{-\lambda_5 x} + \frac{q_0}{\kappa}, \\ \psi_1(x) &= C_{11} a_{01} e^{\lambda_1 x} - C_{21} a_{01} e^{-\lambda_1 x} + C_{31} a_{12} e^{\lambda_3 x} - C_{41} a_{12} e^{-\lambda_3 x} + C_{51} a_{13} e^{\lambda_5 x} - \\ &\quad - C_{61} a_{13} e^{-\lambda_5 x} + b_2 \frac{q_0}{\kappa} x + b_3 q_0 x, \\ u_1(x) &= C_{11} a_{21} e^{\lambda_1 x} - C_{21} a_{21} e^{-\lambda_1 x} + C_{31} a_{22} e^{\lambda_3 x} - C_{41} a_{22} e^{-\lambda_3 x} + C_{51} a_{23} e^{\lambda_5 x} - \\ &\quad - C_{61} a_{23} e^{-\lambda_5 x} + b_5 q_0 \left(\frac{b_2}{\kappa} + b_3 \right) x + C_{81} x + C_{91}, \end{aligned} \quad (10)$$

где C_{11}, \dots, C_{91} – константы интегрирования, остальные параметры a_{ij}, b_i выражаются через геометрические и упругие характеристики материалов слоев и совпа

дают с приведенными в [3].

Во второй области нагрузки нет, соответствующая функция Хевисайда в (1) обращается в ноль, опирание присутствует и функция Хевисайда в (2) обращается в единицу.

Решение системы (12) (индекс «2» внизу) следует из (9), при $q = 0$:

$$\begin{aligned} w_2(x) &= C_{12} e^{\lambda_1 x} + C_{22} e^{-\lambda_1 x} + C_{32} e^{\lambda_3 x} + C_{42} e^{-\lambda_3 x} + C_{52} e^{\lambda_5 x} + C_{62} e^{-\lambda_5 x}, \\ \psi_2(x) &= C_{12} a_{01} e^{\lambda_1 x} - C_{22} a_{01} e^{-\lambda_1 x} + C_{32} a_{12} e^{\lambda_3 x} - C_{42} a_{12} e^{-\lambda_3 x} + C_{52} a_{13} e^{\lambda_5 x} - C_{62} a_{13} e^{-\lambda_5 x}, \\ u_2(x) &= C_{12} a_{21} e^{\lambda_1 x} - C_{22} a_{21} e^{-\lambda_1 x} + C_{32} a_{22} e^{\lambda_3 x} - C_{42} a_{22} e^{-\lambda_3 x} + C_{52} a_{23} e^{\lambda_5 x} - \\ &\quad - C_{62} a_{23} e^{-\lambda_5 x} + C_{82} x + C_{92}, \end{aligned} \quad (11)$$

где C_{12}, \dots, C_{92} – новые константы интегрирования.

Теперь рассмотрим систему уравнений (8) в области III – без опирания на основание и без нагрузки. Здесь обе функции Хевисайда равны нулю. Система (8) здесь принимает вид

$$\begin{aligned} a_1 u_{1,xx} + a_6 \psi_{1,xx} - a_7 w_{1,xxx} &= -p, \\ a_6 u_{1,xx} + a_2 \psi_{1,xx} - a_3 w_{1,xxx} - a_5 \psi_1 &= 0, \\ a_7 u_{1,xxx} + a_3 \psi_{1,xxx} - a_4 w_{1,xxx} &= 0. \end{aligned} \quad (12)$$

Искомые перемещения в этой области (индекс «3») будут [1]:

$$\psi_3 = C_{23} \operatorname{sh}(\beta_2 x) + C_{33} \operatorname{ch}(\beta_2 x) - \frac{\gamma_{12}}{\beta_2^2} (qx + C_{13}),$$

$$w_3(x) = \frac{1}{\alpha_{22}} \left[\frac{\alpha_{12}}{\beta_2} \left[C_{23} \operatorname{ch}(\beta_2 x) + C_{33} \operatorname{sh}(\beta_2 x) - \frac{\gamma_{12}}{\beta_2} \left(\frac{1}{2} qx + C_{13} \right) x \right] + \frac{a_1 C_{13}}{6} x^3 \right] + \frac{C_{43}}{2} x^2 + C_{53} x + C_{63},$$

$$u_3(x) = \gamma_{32} \left(C_{23} \operatorname{sh}(\beta_2 x) + C_{33} \operatorname{ch}(\beta_2 x) - C_{13} \frac{\gamma_{12}}{\beta_2^2} \right) + \frac{a_7}{2\alpha_{22}} C_{13} x^2 + C_{73} x + C_{83}. \quad (13)$$

Объединяя (10), (11), (13) получим искомое решение краевой задачи:

$$\begin{aligned} \psi(x) &= \psi_1(x) + (\psi_2(x) - \psi_1(x))H(x-a) + (\psi_3(x) - \psi_2(x))H(x-x_0), \\ u(x) &= u_1(x) + (u_2(x) - u_1(x))H(x-a) + (u_3(x) - u_2(x))H(x-x_0), \\ w(x) &= w_1(x) + (w_2(x) - w_1(x))H(x-x_0) + (w_3(x) - w_2(x))H(x-x_0). \end{aligned} \quad (14)$$

Константы интегрирования $C_{11}, \dots, C_{91}, C_{12}, \dots, C_{92}, C_{13}, \dots, C_{83}$ определяются из восьми граничных условий на торцах стержня и дополнительных 16 условий равенства перемещений и их производных в точках нерегулярности $x = a, x = x_0$ ($C_{71} = C_{72} = 0$).

- | | |
|--|--|
| 1. $\langle \psi_2(x) - \psi_1(x) \rangle \Big _{x=x_1} = 0$ | 8. $\langle u_{1,x}(x) - u_{2,x}(x) \rangle \Big _{x=x_1} = 0$ |
| 2. $\langle \psi_{2,x}(x) - \psi_{1,x}(x) \rangle \Big _{x=x_1} = 0$ | 9. $(x = 0, \psi_1 = 0)$ |
| 3. $\langle \psi_{2,xx}(x) - \psi_{1,xx}(x) \rangle \Big _{x=x_1} = 0$ | 10. $(x = 0: u_1 = 0)$ |
| 4. $\langle w_1(x) - w_2(x) \rangle \Big _{x=x_1} = 0$ | 11. $(x = 0: w_1 = 0)$ |
| 5. $\langle w_{1,x}(x) - w_{2,x}(x) \rangle \Big _{x=x_1} = 0$ | 12. $(x = 0: w_{1,x} = 0)$ |
| 6. $\langle w_{1,xx}(x) - w_{2,xx}(x) \rangle \Big _{x=x_1} = 0$ | 13. $(x = l: \psi_2 = 0)$ |
| 7. $\langle u_1(x) - u_2(x) \rangle \Big _{x=x_1} = 0$ | 14. $(x = l: u_2 = 0)$ |
| | 15. $(x = l: w_2 = 0)$ |
| | 16. $(x = l: w_{2,x} = 0)$ |

Численные результаты

При численной реализации решений (14), (10)–(13) принималась жесткая заделка торцов стержня; интенсивность нагрузки $q_0 = 2$ МПа; пакет материалов слоев Д16Т–фторопласт–Д16Т; относительные толщины слоев $h_1 = 0,02, h_2 = 0,02, h_3 = 0,09$; модули упругости материалов (МПа): $G_1 = G_2 = 0,267 \cdot 10^5; G_3 = 90; K_1 = K_2 = 0,8 \cdot 10^5; K_3 = 4700$.

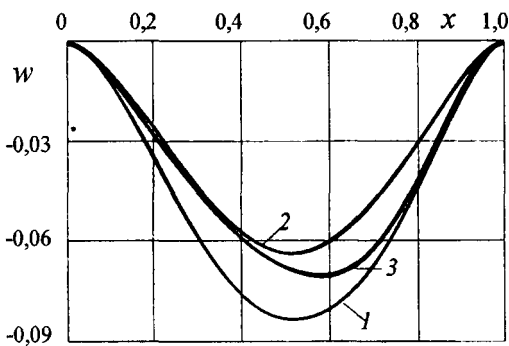
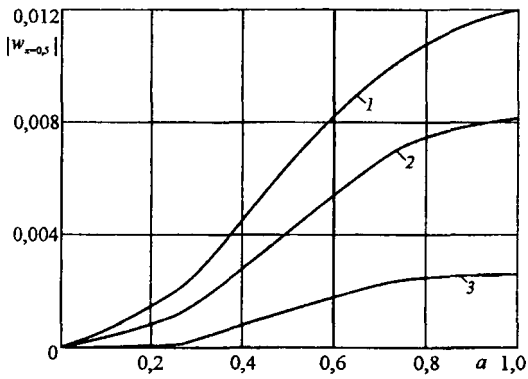


Рис. 2. Прогиб трехслойного стержня при непрерывной нагрузке

Рис. 2 показывает изменение прогиба вдоль оси при нагрузке распределенной по всей поверхности стержня ($a = l$): 1 – $\kappa = 0$; 2 – опирание всего стержня; 3 – оперта левая половина нижнего слоя ($\kappa = 100$ МПа/м). С увеличением области опирания перемещения уменьшаются, полное опирание приводит к уменьшения прогиба на 24 %, частичное – на 10 %.



1 – $\kappa = 1$; 2 – $\kappa = 100$; 3 – $\kappa = 10^5$ МПа/м,
 величина прогибов 3 увеличена в 100 раз
 Рис. 3. Прогибы ($x = 0,5$) в зависимости
 от длины интервала нагрузки a

На рис. 3 приведены графики изменения прогиба по середине стержня ($x = 0,5$) в зависимости от длины интервала нагрузки a ($b = 0$) при различных жесткостях упругого основания. Линейное увеличение интервала нагрузки вызывает нелинейный рост прогибов. При переходе от основания малой жесткости к средней (от 1 к 2) прогиб уменьшается на 30 %. Если основание высокой жесткости 3, то максимальный прогиб стержня составляет 0,23 % от первоначального прогиба (1).

Выводы

Приведенная методика и решение краевой задачи позволяют проводить анализ напряженно-деформированного состояния при изгибе частично опертого трехслойного стержня при локальных нагрузках в зависимости от прочностных и геометрических параметров слоев и основания.

ЛИТЕРАТУРА

- 1 Плескачевский, Ю.М. Деформирование металлополимерных систем / Ю.М. Плескачевский, Э.И. Старовойтов, А.В. Яровая. – Минск: Бел. наука, 2004. – 386 с.
- 2 Старовойтов, С.А. Напряженно-деформированное состояние трехслойного стержня на упругом основании / Старовойтов С. А. // Вестник БелГУТа «Наука и транспорт». – 2004. – № 1 (10). – С. 25–28.
- 3 Старовойтов, Э. И. Деформирование трехслойных элементов конструкций на упругом основании / Э. И. Старовойтов, А. В. Яровая, Д. В. Леоненко. – М.: ФИЗМАТЛИТ, 2006. – 379 с.